

اثر دما و سطح ضربه‌گیر بر حجم کوفتگی سیب در اثر ضربه و پیش‌بینی آن به روش شبکه عصبی مصنوعی

صدیقه شکریگی^۱، امیرحسین افکاری سیاح^{۲*}، حسین شایقی مغانلو^۳ و علی‌اکبر شکوهیان^۴

۱- دانشجوی کارشناسی ارشد مکانیک ماشین‌های کشاورزی، دانشگاه محقق اردبیلی

۲- استادیار گروه مکانیک ماشین‌های کشاورزی، دانشگاه محقق اردبیلی

۳- دانشیار گروه برق، دانشگاه محقق اردبیلی

۴- مرتبی گروه باگبانی، دانشگاه محقق اردبیلی

(تاریخ دریافت: ۸۸/۷/۲ تاریخ پذیرش: ۸۸/۱۱/۱۸)

چکیده

ضایعات مکانیکی که در انواع محصولات کشاورزی ایجاد می‌شود، خساراتی است که بر اقتصاد کشور تحمیل می‌گردد. کوفتگی یکی از نشانه‌های این نوع ضایعه است که بررسی آن در کاهش تلفات و بهینه‌سازی ماشین‌های برداشت و پس از برداشت از اهمیت برخوردار است. در تحقیق حاضر با استفاده از دستگاه ضربه‌زن آونگی و انجام آزمون‌های ضربه، اثر عوامل دما (۰، ۱۰، ۲۰ و ۳۰ درجه سلسیوس)، رقم (گلدن‌دیلیشر و ردیلیشر)، سطح ضربه‌گیر (کارتن، لاستیک و آهن گالوانیزه) و انرژی ضربه (۳۰۰، ۶۰۰ و ۹۰۰ میلی‌ژول) بر میزان کوفتگی در میوه سیب بررسی شد. نتایج آماری نشان داد که اثر دما، رقم، سطح ضربه‌گیر و انرژی ضربه بر میانگین حجم کوفتگی در سطح احتمال ۱٪ معنی دار است. با افزایش دما حجم کوفتگی در هر دو رقم کاهش و با افزایش سطح انرژی حجم کوفتگی در هر دو رقم به طور خطی افزایش یافت. در حالی‌که رقم گلدن‌دیلیشر نسبت به ردیلیشر مقاومت بیشتری در برابر آسیب داشت. همچنین بیشترین حجم کوفتگی مربوط به رقم ردیلیشر با آهن گالوانیزه و کمترین آن به رقم گلدن‌دیلیشر در برخورد با کارتون اختصاص داشت. با کمک شبکه عصبی مصنوعی امکان پیش‌بینی حجم کوفتگی بر اساس هر چهار عامل دما، انرژی ضربه، سطح ضربه‌گیر و رقم فراهم شد. برای پیش‌بینی حجم کوفتگی از شبکه‌های عصبی پر سپترون چند لایه (MLP) استفاده شد. الگوریتم لونبرگ-مارکارت با ساختار ۲-۶-۱ و تابع انتقال لگاریتم سیگموئید در لایه مخفی در مقایسه با تopolوژی‌های دیگر نتایج بهتری را ارائه کرد. با این الگوریتم میانگین دقت پیش‌بینی در مراحل آموزش، ارزیابی و آزمون به ترتیب ۸۷/۷۲ و ۸۸/۹۴ و ۹۲/۴۸ درصد محاسبه شد. همچنین ضربه همبستگی (R) در رگرسیون خطی بین داده‌های پیش‌بینی شده و داده‌های واقعی ۹۷/۵ بدست آمد.

کلید واژگان: ضربه، کوفتگی سیب، دما، سطح ضربه‌گیر، شبکه‌های عصبی مصنوعی

۱- مقدمه

به دلیل ضایعات فراوان و عدم کسب استانداردهای لازم برای صادرات می‌باشد. این محصول در مسیری که از باغ به مراکز فروش منتقل می‌شود تحت عملیاتی چون برداشت، بسته‌بندی، درجه‌بندی، ذخیره‌سازی و حمل و نقل قرار می‌گیرد. طی این درصد زیادی از محصولات باغی از جمله سیب هر ساله به دلیل صدمات مکانیکی از بین می‌روند، این در حالی است که سیب یکی از مهمترین محصولات تولیدی کشور محسوب می‌گردد و تولید بالای سیب در ایران در مقابل صادرات ناچیز آن

* مسئول مکاتبات: ahafkari@gmail.com

درجه سلسیوس حجم کوفنگی افزایش می‌یابد^[۸]. همچنین ون لانکر^۸ (۱۹۷۹) و هاید^۹ و همکاران (۲۰۰۱) گزارش نمودند که برای رقم گلدن دلیشز با افزایش دما حجم کوفتگی کاهش می‌یابد^{[۹] و [۱۰]}.

با توجه به پیچیدگی‌های موجود در این پدیده و تعدد عوامل موثر بر کوفنگی، استفاده از روش‌های مدلسازی و پیش‌بینی در این زمینه در حال توسعه می‌باشدند. امروزه با پیشرفت فناوری پردازش رایانه‌ای از شبکه‌های عصبی مصنوعی^{۱۰} برای پیش‌بینی پردازش رایانه‌ای از فرآیندها در کشاورزی استفاده می‌شود. شبکه‌های عصبی مصنوعی به کمک فرآیند یادگیری و استفاده از پردازشگرهایی به نام نرون، با شناخت روابط ذاتی بین داده‌ها، نگاشتی بین فضای ورودی و فضای مطلوب برقرار می‌شوند. این شبکه‌ها به دلیل ساختار ریاضی غیرخطی، قدرت تعمیم، دقت و سرعت بالا می‌توانند جایگزین مناسی برای اکثر مدل‌ها باشند. در این زمینه پیش‌بینی حجم ضایعه تحت تاثیر عوامل متعدد از طریق شبکه عصبی مصنوعی ابزاری است که می‌تواند به محققین در درک بهتر پدیده کوفتگی کمک کرده و در نهایت به کاهش کوفتگی سبب منجر شود. در ارتباط با کاربرد شبکه‌های عصبی مصنوعی در تعیین کیفیت محصولات کشاورزی، کاودیر و گویر^{۱۱} (۲۰۰۴) سبب‌های رقم گلدن دلیشز و امپایر را با استفاده از شبکه‌های عصبی پس انتشار و روش آماری بر اساس کیفیت میوه از لحاظ ویژگی ظاهری دسته‌بندی کردند^[۱۱]. همچنین یانگ^{۱۲} و همکاران (۲۰۰۲) با استفاده از مدل‌های پس انتشار شبکه عصبی مصنوعی گیاه ذرت را از ۴ نوع علف هرز در مزرعه تشخیص دادند^[۱۲].

در این تحقیق به بررسی اثر دما و سطوح ضربه‌گیر بر روی پدیده کوفتگی در سطوح انرژی متفاوت و برای ارقام متداول سبب (گلدن دلیشز و ردلیشز) پرداخته شد و حجم کوفتگی به روش شبکه عصبی مصنوعی پیش‌بینی گردید.

۲- مواد و روش‌ها

برای انجام آزمایشات از دو رقم متداول سبب به نام‌های گلدن دلیشز و ردلیشز استفاده شد. نمونه‌ها مریبوط به باغات شهرستان مراغه بود. از هر رقم ۱۸۰ عدد به طور تصادفی برای

مراحل بارهای استاتیکی و دینامیکی متعددی بر تک تک سبب‌ها وارد شده که منجر به آسیب و کوفتگی می‌شود^[۱]. در این ارتباط، نیروهای دینامیکی به مراتب کوفتگی بیشتری ایجاد می‌کنند^[۲] و ضربه یکی از بارهای دینامیکی است که در اثر سقوط بر روی سطوح متفاوت و برخورد با سبب‌های دیگر روی می‌دهد^[۱]. کوفتگی آسیب وارد شده به بافت سبب است و باعث تغییر رنگ آن می‌شود و معمولاً^۳ بدون ایجاد گسیختگی در پوست روی می‌دهد^[۳]. هنگامی که غشاء سلول‌های بخش بافت دچار صدمه‌ی فیزیکی می‌گردد، آسیب وارد سبب مخلوط شدن آنزیمه‌ها از سیتوپلاسم^۱ با ترکیبات فنلی^۲ از واکوئل^۳ خواهد شد، این واکنش منجر به قهوه‌ای شدن بافت و به اصطلاح کوفتگی می‌شود^[۴]. تحقیقات راجع به کوفتگی ناشی از ضربه بیش از چهار دهه است که انجام می‌گیرد^[۵] و این ناشی از مکانیزم نسبتاً پیچیده‌ی این پدیده است.

لوپس^۶ و همکاران (۲۰۰۷) در تحقیقی به بررسی کوفتگی ناشی از ضربه در رقم گلدن دلیشز پرداختند. نتایج آن‌ها نشان داد که مساحت و حجم کوفتگی با افزایش شعاع انحنای در محل برخورد و انرژی ضربه افزایش می‌یابند. همچنین با افزایش ضربی کشسانی سطوح ضربه‌گیر حجم کوفتگی افزایش یافته و بیشترین کوفتگی در قسمت گونه‌ی سبب مشاهده می‌شود^[۱].

ونزیبروک^۷ و همکاران (۲۰۰۷) اثر پارامترهای مختلف میوه سبب را روی قابلیت کوفتگی آن بررسی کردند. نتایج کار آن‌ها نشان داد که افزایش دما (۱، ۱۵، ۲۰°C) باعث کاهش کوفتگی می‌گردد^[۶]. طی تحقیقات انجام شده، گزارشات متناقضی از اثر دما بر کوفتگی سبب منتشر شده است. اسکورل و هالت^۸ (۱۹۷۷) اثر زمان ذخیره‌سازی و دما را روی کوفتگی سبب‌های رقم جاناتان، دلیشز و گرانی اسمتیت بررسی کردند. نتایج مطالعات آن‌ها نشان داد که مقاومت به کوفتگی ارقام متفاوت با افزایش زمان ذخیره‌سازی کاهش می‌یابد، اما تغییرات دما تاثیری بر مقاومت به کوفتگی ندارد^[۷]. سالتویت^۹ (۱۹۸۴) برای دو رقم سبب گزارش نمود که با افزایش دما از صفر تا ۳۰

1. Cytoplasm

2. Phenolic

3. Vacuole

4. Lewis

5. Van Zeebroeck

6. Schoorl and Holt

7. Saltveit

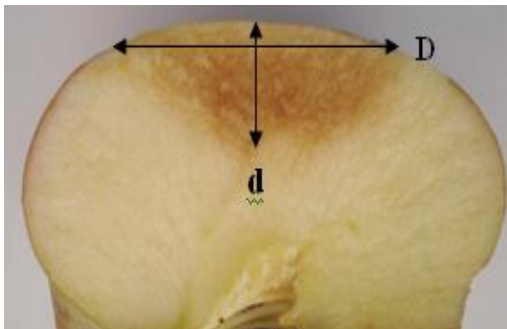
دستگاه آونگی را کاملاً موجه می‌سازد. در این تحقیق محل ضربه روی گونه‌ی سیب انتخاب شد زیرا احتمال وقوع ضربه در این محل بیشتر است. بعد از محاسبه‌ی جرم سیب از رابطه‌ی زیر ارتفاع سقوط تعیین شد.

$$E = mgh \quad (1)$$

که در آن E انرژی سیتیک بر حسب (J), m جرم سیب بر حسب (kg), g شتاب جاذبه بر حسب (m/s^2) و h ارتفاع سقوط بر حسب (m) است. سطوح انرژی مورد آزمایش ۳۰۰ و ۶۰۰ و ۹۰۰ میلی‌ژول می‌باشند [۱۳]. نمونه مورد آزمایش در انتهای آونگ در داخل گیره حلقوی قرار گرفته و از ارتفاع ($h = L - L \cos\alpha$) رها می‌گردد. طول سیم آونگ است که (m) در نظر گرفته شده و α زاویه برخورد می‌باشد. نمونه‌ها پس از ضربه خوردن به مدت ۷۲ تا ۲۴ ساعت در محیط آزمایشگاه به منظور پیدایش لکه نگهداری شدند [۱۴]. در سطوح انرژی پایین، علائم کوفتگی از روی پوست قابل مشاهده نیست. بنابراین با یک چاقوی تیز پوست سیب را در محل ضربه برداشته و قطر سطح لهیده شده اندازه‌گیری شد، سپس با ایجاد برشی عمود بر سطح کوفتگی، عمق کوفتگی نیز اندازه‌گیری شد و از تقریب زیر برای محاسبه‌ی حجم کوفتگی استفاده گردید [۱۵]:

$$BV = \frac{\pi}{6} d D^2 \quad (2)$$

که در آن BV حجم کوفتگی بر حسب (mm^3), d عمق کوفتگی بر حسب (mm) و D قطر کوفتگی بر حسب (mm) می‌باشد (شکل ۲).



شکل ۲ نحوه اندازه‌گیری قطر و عمق کوفتگی در یک نمونه برش خورده سیب

انجام آزمایشات جدا گردید. نمونه‌ها در دمای $20^\circ C$ نگهداری شدند و پیش از انجام آزمون ضربه وزن نمونه‌ها با ترازوی دیجیتالی با دقت 0.01 گرم اندازه‌گیری شد. به منظور بررسی اثر دما (0° , 10° , 20° و 30° درجه سلسیوس) بر روی حجم کوفتگی از دستگاه کنترل دما استفاده شد. این دستگاه دارای سیستم برودتی، سیستم حرارتی و واحد کنترل (میکروکنترلر) بوده و محدوده‌ی دمای آن از -1 تا 50 درجه سلسیوس بود (شکل ۱). برای اینکه سیب‌ها از دمای اتاق به دمای ذکر شده برسند، لازم بود که نمونه‌ها به مدت 3 تا $3/5$ ساعت در داخل محفظه این دستگاه قرار گیرند تا کل بافت سیب و به ویژه بافت خارجی آن به دمای تعادلی مورد نظر برسد.



شکل ۱ دستگاه کنترل دما

برای تعیین سختی سطوح ضربه‌گیر (آهن گالوانیزه، لاستیک و کارتن) از دستگاه بارگذاری فشاری تک محوری ساخت شرکت سنتام^۱ استفاده شد. برای انجام بارگذاری به صورت نقطه‌ای از ساقمه‌ای به قطر ($15/80$ mm) و سرعت بارگذاری (20 mm/min) استفاده شد. سطوح ضربه‌گیر روی فک ثابت تحت یک بار پیوسته قرار گرفتند و شیب منحنی نیرو-تغییر شکل در محدوده‌ی کشسان به عنوان ملاک سختی مدد نظر قرار گرفت. ضخامت سطوح ضربه‌گیر با هم متفاوت بود، بنابراین برای محاسبه سختی سطوح از کرنش یکسان $0/15$ در هر سه سطح استفاده شد.

برای انجام آزمایشات ضربه از دستگاه آزمون ضربه که پیش از این در تحقیقی در گروه ماشین‌های کشاورزی دانشگاه محقق اردبیلی ساخته شده بود (افکاری سیاح و همکاران، ۱۳۸۵) استفاده شد [۱۳]. انجام ضربه در نقاط مشخص از سطح محصول با قابلیت کنترل بر میزان انرژی سیتیک استفاده از

1. SANTAM

به دلیل سرعت و دقت بالا برای آموزش شبکه‌ها استفاده شد. همچنین در کلیه شبکه‌ها از نرخ یادگیری و ضریب گشتاور 0.3 استفاده شد. در نهایت بر اساس معیار ضریب همبستگی (R) بین مقادیر کوفتگی واقعی و پیش‌بینی شده و میانگین مربعات خطأ (MSE)، تعداد بهینه نرون و بهترینتابع تبدیل معرفی شد. دقت پیش‌بینی مدل^۱ ($P.A.$) به صورت نسبت اختلاف بین داده‌های واقعی با داده‌های پیش‌بینی شده به داده‌های واقعی محاسبه شد. کل شبکه‌های طرح شده در محیط نرم‌افزار MATLAB (version 7.6) اجرا شدند.

۳- نتایج و بحث

در بیشتر موارد بافت صدمه دیده در هر دو رقم به قهقهه‌ای روشن تغییر رنگ داد. این تغییر رنگ در سطح انرژی 900 میلی‌ژول حداقل پس از دو ساعت ایجاد می‌شد. بر اساس مشاهدات عینی رقم ردیلیزه در دمای صفر درجه سلسیوس و برخورد با آهن گالوانیزه دارای رنگ قهقهه‌ای تیره در بافت ضایعه شده و رقم گلدن دلیلزه در برخورد با کارتون در دمای 30 درجه سلسیوس دارای کوفتگی با رنگ قهقهه‌ای روشن بود و سطح کوفتگی در اکثر موارد به شکل بیضی بود.

نتایج تجزیه واریانس داده‌های مربوط به حجم کوفتگی سیب در جدول (۱) نشان داده شده است. بر اساس این نتایج اثرات اصلی دما، سطح ضربه‌گیر، انرژی سینتیک و رقم بر حجم کوفتگی در سطح احتمال 1% معنی دار است. اثرات متقابل رقم در دما و رقم در انرژی سینتیک بر حجم کوفتگی در سطح احتمال 1% معنی دار می‌باشد، همچنین اثر متقابل رقم در سطح ضربه‌گیر بر حجم کوفتگی در سطح احتمال 5% معنی دار است.

نتایج مقایسه میانگین اثرات اصلی دما، سطح ضربه‌گیر، انرژی سینتیک و رقم در جدول (۲) ارائه شده است. مقایسه میانگین‌ها با آزمون دانکن در سطح احتمال 5% انجام شده است. نتایج نشان می‌دهد که بیشترین مقدار حجم کوفتگی در دمای صفر درجه سلسیوس می‌باشد. همچنین در بررسی اثر سطوح ضربه‌گیر کمترین میزان کوفتگی در برخورد با کارتون بدست آمد و با افزایش انرژی ضربه حجم کوفتگی افزایش یافت.

برای تحلیل نتایج، از طرح آزمایش کاملاً تصادفی به صورت فاکتوریل در 5 تکرار استفاده شد و در مجموع 360 آزمون ضربه انجام شد. برای ارائه نتایج به صورت نمودار از نرم‌افزار اکسل Excel و برای تجزیه و تحلیل آماری نتایج از نرم‌افزار MSTAT-C استفاده گردید.

طراحی مدل شبکه عصبی مصنوعی

در این تحقیق از شبکه‌های عصبی پرسپترون چند لایه^۲ برای پیش‌بینی حجم کوفتگی ناشی از ضربه استفاده شد. شبکه‌های عصبی پرسپترون ابزارهایی هستند که در توپولوژی شبکه‌های عصبی مصنوعی کاربرد گسترده‌ای دارند. این شبکه‌ها دارای لایه ورودی، یک یا چند لایه پنهان و لایه خروجی می‌باشند. شمار لایه‌ها و نرون‌ها در لایه مخفی به طور معمول از MLP روش آزمون و خطأ مشخص می‌شود. روش یادگیری MLP به صورت پس انتشار خطأ^۳ است زیرا خطای خروجی مدل به عقب و به داخل سیستم برگردانده می‌شود تا تجدید و تنظیم وزن‌های لایه‌های پنهان انجام گیرد. در این حالت با تصحیح پیوسته خطأ وزن‌های مناسب برای سیستم به دست می‌آید. سپس از طریق مقایسه نتایج مدل با نتایج مطلوب در مورد کارایی مدل قضاوت می‌شود. برای مقایسه عملکرد شبکه‌های ساخته شده از میانگین مربعات خطأ^۴ (MSE) استفاده شد. یکی از مشکلات موجود در آموزش شبکه‌های عصبی مصنوعی پیش‌بازارش^۵ می‌باشد. یک روش برای افزایش تعمیم پذیری شبکه روش توقف زودرس می‌باشد، در این حالت 25% داده‌ها برای آزمون 25% برای ارزیابی و 50% برای آموزش شبکه در نظر گرفته شد. این داده‌ها به صورت تصادفی از میان نمونه‌های ورودی انتخاب شدند.

برای طراحی شبکه، در لایه ورودی ویژگی‌های مربوط به متغیرهای دما، رقم، انرژی سینتیک و سطح ضربه‌گیر به کار گرفته شد و در لایه خروجی از یک نرون برای پیش‌بینی مقادیر حجم کوفتگی استفاده شد. از توابع تبدیل تانژانت سیگموئید و لگاریتم سیگموئید در لایه پنهان و تابع تبدیل خطی در لایه خروجی استفاده شد و از الگوریتم لونبرگ-مارکوارت^۶ (lm)

1. Multilayer Perceptron (MLP)

2. Back Propagation

3. Mean Square Error

4. Over Fitting

5. Levenberg- Marquardt

1. Prediction Accuracy

جدول ۱ نتایج تجزیه واریانس داده‌های مربوط به اندازه‌گیری حجم کوفتگی سیب (CV=٪۱۹/۳۵)

F	میانگین مربuat	مجموع مربuat	درجه آزادی	منابع تغییرات
۴۰/۹۳**	۱۶۱۹۰۳۹۲/۶۶	۴۸۵۷۱۱۷۷/۹۷	۳	دما
۴۳۶/۲۸**	۲۱۱۳۴۷۸۸۳/۱۴	۴۲۲۶۹۵۷۶۶/۲۷	۲	سطح ضربه‌گیر
۱۲/۹۸**	۵۱۳۶۷۴۰/۹۲	۳۰۸۲۰۴۴۵/۵۰	۶	سطح ضربه‌گیر×دما
۱۰۰۱/۱۴**	۳۹۶۰۶۰۶۶۹/۸۳	۷۹۲۱۲۱۳۳۹/۶۶	۲	انرژی
۰/۷۱ns	۲۷۸۹۹۷۶/۱۸	۱۶۷۳۹۷۷/۱۰	۶	انرژی×دما
۱۷/۳۱**	۶۸۴۹۴۲۷۴۴	۲۷۳۹۷۷۰۵/۷۸	۴	انرژی×سطح ضربه‌گیر
۳/۲۸**	۱۲۹۷۸۷۵۰/۳۵	۱۵۵۷۴۵۰۴/۲۲	۱۲	انرژی×سطح ضربه‌گیر×دما
۳۸۱/۶۰**	۱۵۰۹۶۴۸۳۱/۵۰	۱۵۰۹۶۴۸۳۱/۵۰	۱	رقم
۴/۴۸**	۱۷۷۲۰۶۵/۴۳	۵۳۱۶۱۹۶/۲۸	۳	رقم×دما
۴/۲۶*	۱۶۸۴۱۴۱/۲۵	۳۳۶۸۲۸۲/۵۰	۲	رقم×سطح ضربه‌گیر
۲/۵۷*	۱۰۱۵۹۰۷/۳۹	۶۰۹۵۴۴۴/۳۲	۶	رقم×سطح ضربه‌گیر×دما
۸۳/۵۴**	۳۳۰۵۰۷۹۲/۸۲	۶۶۱۰۱۵۸۵/۶۴	۲	رقم×انرژی
۱/۹۹ns	۷۷۴۲۰۱/۷۱	۴۶۴۰۲۱۰/۲۷	۶	رقم×انرژی×دما
۲/۰۲ns	۸۰۰۳۴۲۷/۹۸	۳۲۰۱۳۷۱/۹۲	۴	رقم×انرژی×سطح ضربه‌گیر
۱/۷۴*	۶۸۸۳۰۸۷۰	۸۲۵۹۷۰۴/۳۵	۱۲	رقم×انرژی×سطح ضربه‌گیر×دما
-	۳۹۵۶۰۷/۸۸	۱۱۳۹۳۵۰۷۰/۰۱	۲۸۸	خطا
-	-	۱۷۰۰۷۴۲۶۱۳/۳۰	۳۵۹	مجموع

** معنی دار در سطح احتمال ۰/۰۵، * معنی دار در سطح احتمال ۰/۰۵ و ns عدم اثر معنی دار

جدول ۲ نتایج مقایسه میانگین اثرات دما، سطح ضربه‌گیر، انرژی و رقم بر حجم کوفتگی سیب

رقم	انرژی ضربه (mJ)	سطح ضربه‌گیر	دما (°C)
۲۶۰۲/۷۶ ^b	۱۴۶۵/۳۲ ^c	گلدن دلیشر	۳۸۷۱/۳۳ ^a صفر
۳۸۷۹/۹ ^a	۳۱۸۸/۴۸ ^b	رددلیشر	۳۱۷۱/۸۲ ^b ۱۰ گالوانیزه
	۵۰۹۷/۲۳ ^a		۲۹۰۹/۹۷ ^c ۲۰ لاستیک
			۲۹۹۸/۲۲ ^{bc} ۳۰ کارتن

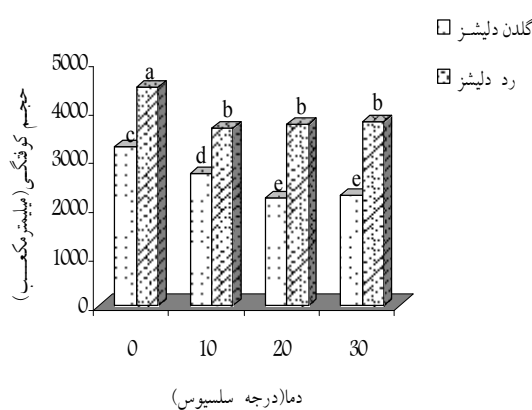
مقادیر میانگین دارای حروف مشترک اختلاف معنی داری (در سطح ۰/۰۵) با هم ندارند.

سلسیوس و کمترین آن ۲۰۰۱/۰۱ میلی‌مترمکعب به رقم گلدن-دلیشر در دمای ۲۰ درجه سلسیوس اختصاص داشت. تحلیل اثر دما بر کوفتگی سیب در منابع مختلف متناقض است و برای توجیه آن دلایل مختلفی ذکر شده است. اولین نکته‌ای که باید در نظر گرفت این است که دما بر روی خواص مکانیکی سیب اثرگذار است، بنابراین منطقی است که بر میزان کوفتگی هم تاثیر داشته باشد. برای مثال ضربیت کشسانی به میزان دما وابسته است [۶]، به طوری که با افزایش دما ضربیت کشسانی کاهش می‌یابد [۹]. هورسفیلد و همکاران، (۱۹۷۲) بر اساس تئوری برخورد

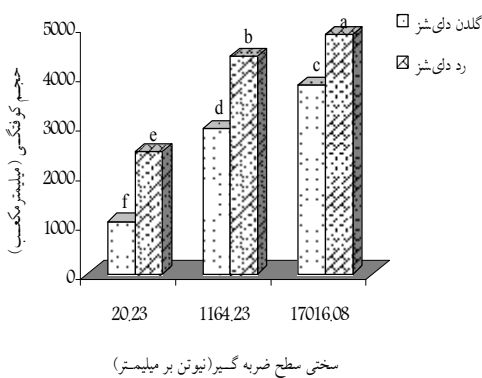
مقایسه‌ی میانگین‌ها (جدول ۲ و شکل ۳) نشان می‌دهد که با افزایش دما از ۰ تا ۲۰ درجه سلسیوس حجم کوفتگی کاهش یافته است اما با افزایش دما از ۲۰ به ۳۰ درجه سلسیوس میانگین حجم کوفتگی به میزان جزئی افزایش یافت و این تفاوت از لحاظ آماری معنی دار نبود. این نتیجه با نتایج ون لانکر (۱۹۷۹)، هاید و همکاران (۲۰۰۱) و وزیریروک و همکاران (۲۰۰۷) مطابقت دارد [۱۰، ۹ و ۶]. بیشترین مقدار میانگین حجم کوفتگی ۴۸۲/۸۹ میلی‌مترمکعب مربوط به رقم رددلیشر در دمای صفر درجه

اثر دما بر حجم کوفتگی

میلی متر مکعب مربوط به رقم رددلیشز در سطح انرژی ۹۰۰ میلی-ژول و کمترین آن ۱۲۹۰/۰۷ میلی متر مکعب به رقم گلدن دلیشز در سطح انرژی ۳۰۰ میلی ژول اختصاص داشت. دلیل این امر را می-توان به تفاوت خواص مکانیکی رقم گلدن دلیشز و رددلیشز مرتبط دانست. ضریب کشسانی رقم رددلیشز بالاتر از گلدن دلیشز است، با افزایش ضریب کشسانی بافت میوه، میزان کوفتگی افزایش می یابد. همچنین تنفس گسیختگی، کرنش گسیختگی، انرژی شکست و سفتی رقم گلدن دلیشز بالاتر از رددلیشز است [۱۸]. با افزایش تنفس و کرنش گسیختگی یک رقم مقاومت آن رقم در برایر بارهای مکانیکی بیشتر شده و آسیب کمتری متحمل می شود، در نتیجه رقم گلدن دلیشز دچار کوفتگی کمتری شد.



شکل ۳ اثر دما بر حجم کوفتگی دو رقم سیب



شکل ۴ اثر سطح ضربه گیر بر حجم کوفتگی دو رقم سیب

هر تر معادله‌ای برای محاسبه تنفس ایجاد شده طی برخورد دو جسم ارائه کردند که نشان می دهد تنفس ایجاد شده در بافت میوه با ضریب کشسانی دو جسم برخورد شونده متناسب است [۱۶]. بر این اساس در ارتفاع سقوط ثابت، با فرض ثابت بودن سختی سطح ضربه گیر، ضریب کشسانی بیشتر سیب، باعث تنفس برخورد بیشتر و آسیب کوفتگی بیشتر می شود. به همین علت بیشترین حجم کوفتگی نیز در دمای صفر درجه سلسیوس روی داد. از طرفی با کاهش دما ویسکوزیته افزایش می یابد و دیواره سلول‌ها شکننده‌تر می گردند و سفتی افزایش می یابد [۱۷]. بنابراین آسیب پذیری بیشتر می شود. این همان نتیجه‌ای است که در این پژوهش طی بررسی مشخص شد.

اثر سطح ضربه گیر بر حجم کوفتگی

با توجه به شکل (۴) مشاهده می شود که مقاومت رقم گلدن دلیشز در برخورد با سطوح ضربه گیر متفاوت بیشتر از رقم رددلیشز می باشد و کوفتگی کمتری در آن ایجاد می شود. همچنین جدول (۳) نشان می دهد که سختی سطح آهن گالوانیزه بیش از لاستیک و کارتون است، بنابراین کوفتگی بیشتری در اثر برخورد با این سطح ایجاد می شود. در واقع سطوح نرم مقداری از انرژی ضربه را جذب می کنند، در نتیجه کمترین کوفتگی در برخورد با کارتون ایجاد شده است. این نتیجه با نتایج لویس و همکاران (۲۰۰۷) مطابقت دارد [۱]. بیشترین مقدار میانگین حجم کوفتگی معادل ۴۸۳۳/۱ میلی متر مکعب مربوط به رقم رددلیشز در اثر برخورد با آهن گالوانیزه و کمترین آن ۱۰۶۳/۱۳ میلی متر مکعب در اثر برخورد رقم گلدن دلیشز با کارتون ایجاد شده است.

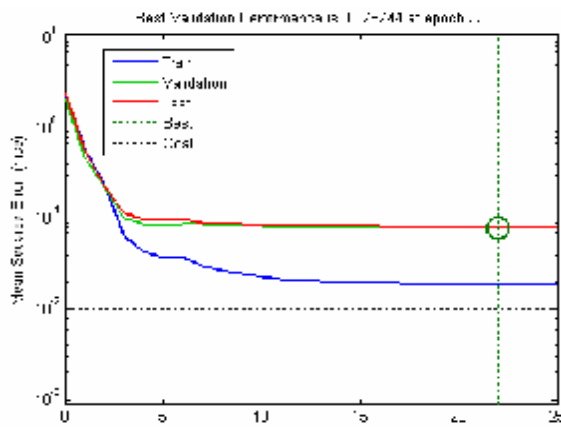
جدول ۳ سختی سطوح ضربه گیر و ضخامت آنها

آهن گالوانیزه	لاستیک	کارتون	سختی (N/mm)
۱۷۰۱۶۷۰۸	۱۱۶۴/۲۳	۲۰/۲۳	
۴/۵	۵/۶۴	۴/۱	ضخامت (mm)

اثر انرژی سینتیک بر حجم کوفتگی

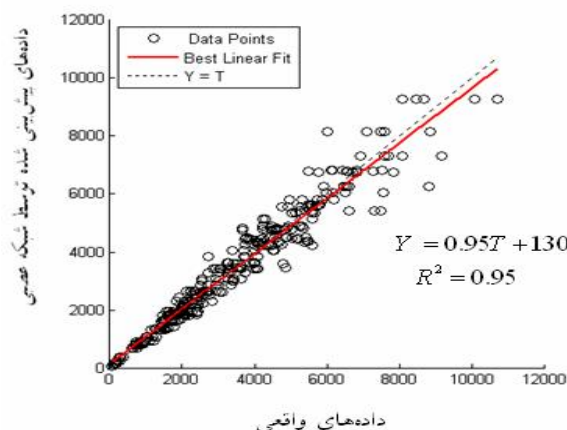
نتایج مقایسه میانگین در شکل (۵) نشان می دهد که با افزایش انرژی ضربه از ۳۰۰ تا ۹۰۰ میلی ژول میانگین حجم کوفتگی به طور معنی داری افزایش می یابد، زیرا تنفس برخورد بیشتر می شود. بیشترین مقدار میانگین حجم کوفتگی ۶۳۰۹/۷۳

درک عملکرد شبکه استفاده می‌شود. خطوط آبی، سبز و قرمز به ترتیب نشانگر روند تغییرات خطای داده‌های آموزشی، ارزیابی و آزمون می‌باشند و خط سیاه نشانگر مقدار خطا هدف (برابر ۰/۰) شبکه است. میانگین دقت شبیه‌سازی در مراحل آموزش، ارزیابی و آزمون به ترتیب ۴۸/۲۶، ۴۸/۲۶ و ۷۷/۸۷ درصد محاسبه شد. با استفاده از ۲۶ نرون در لایه میانی برای شبکه با تابع انتقال لگاریتم سیکلوئیدی میانگین مربعات خطا در سیکل ۲۲ معادل ۰/۰۷۸۷۴۴ بود.

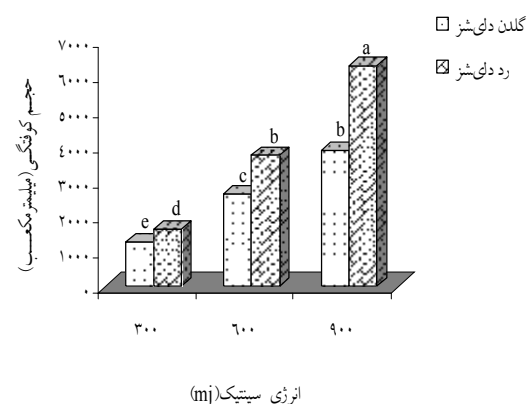


شکل ۶ نمودار عملکرد شبکه lm با ۲۶ نرون در لایه پنهان

شبکه ساخته شده با ۲۶ نرون دارای بیشترین ضریب همبستگی بود. در شکل (۷) بهترین خط برازش یافته بین مقادیر کوفتگی واقعی (T) و پیش‌بینی شده (\hat{Y}) نشان داده شده است. مقایسه مدل‌های رگرسیون آماری در جدول (۴) و مدل رگرسیون خطی بدست آمده با شبکه عصبی دارای ضریب رگرسیون (۰/۹۵) بالاتری است، بنابراین می‌توان نتیجه گرفت که پیش‌بینی حجم کوفتگی با شبکه عصبی به مدل‌های رگرسیون آماری ارجحیت دارد.



شکل ۷ نمودار رگرسیون شبکه با ۲۶ نرون در لایه پنهان



شکل ۵ اثر انرژی سنتیک بر حجم کوفتگی دو رقم سیب

مدلهای رگرسیون آماری

در جدول (۴) مدل‌های رگرسیون آماری برای دو رقم نشان داده شده است. در این مدل‌ها t دما بر حسب ($^{\circ}\text{C}$), s سختی سطح ضربه‌گیر بر حسب ($\frac{N}{\text{mm}}$), e انرژی ضربه بر حسب (mJ) و V حجم کوفتگی بر حسب (mm^3) می‌باشد. مشاهده می‌شود که مدل‌های رگرسیون خطی با ضریب تعیین متوسط می‌توانند مقدار حجم کوفتگی را براورده کنند.

جدول ۴ مدل‌های رگرسیون خطی چندگانه پیش‌بینی حجم کوفتگی برای دو رقم سیب گلدن‌دلیش و رد‌دلیش

رقم	مدل رگرسیون خطی چندگانه	R^2
-	گلدن-	
۰/۷۰۲	$V = -35.59t + 0.12s + 4.32e - 160.5$	
۰/۸۰۳	$V = -21.04t + 0.09s + 7.78e - 1008.97$	
	رد‌دلیش	

پیش‌بینی حجم کوفتگی با شبکه عصبی مصنوعی

جدول (۵) ساختار بهینه بدست آمده برای شبکه‌های ساخته شده با استفاده از الگوریتم لونبرگ-مارکوارت با یک لایه پنهان و تعداد نرون‌های متفاوت در لایه پنهان را نشان می‌دهد. بر اساس جدول (۵) تابع انتقال لگاریتم سیکلوئیدی (logsig) از عملکرد بهتری در مقایسه با تابع تانژانت سیکلوئیدی (tansig) برخوردار است. این تابع انتقال علاوه بر دقت پیش‌بینی و ضریب همبستگی بالا، تعداد نرون کمتر و MSE پایین‌تری دارد. در شکل (۶) نمودار میانگین مربعات خطا بر حسب تکرار (Epoch) ترسیم شده است. به تعداد تکرارها، میانگین مربعات خطا وجود دارد که از نمایش تغییرات آن به عنوان معیاری برای

جدول ۵ ساختار بهینه الگوریتم لونبرگ- مارکوارت

الگوریتم آموزشی	تابع انتقال لایه میانی	نرون در لایه میانی	تعداد بهینه	تکرار	مریعات خطأ	میانگین شیکه در داده‌های آزمایش(%)	میانگین دقت	ضریب همبستگی(R)
TanZant			۳۰	۱۲	۰/۰۷۹۰	۸۶/۶	۰/۹۷۷۳	
Trainlm	Lگاریتم	۲۶		۲۲	۰/۰۷۸۷	۸۷/۷	۰/۹۷۵	

- [5] Van Zeebroeck, M., Van linden, V., Ramon, H., De Baerdemaeker, J., Nicolai, B.M., Tijskens, E. 2007a. Impact damage of apples during transport and handling. *Postharvest Biology and Technology*. 45: 157–167.
- [6] Van Zeebroeck, M., Van linden, V., Darius, P., De Ketelaere, B., Ramon, H., Tijskens, E. 2007b. The effect of fruit factors on the bruise susceptibility of apples. *Postharvest Biology and Technology*. 46: 10-19.
- [7] Schoorl, D., Holt, J.E. 1977. The effects of storage time and temperature on the bruising of Jonathan, Delicious and Granny Smith apples. *Journal of Texture Studies*. 8: 409–416.
- [8] Saltveit, M. 1984. Effects of temperature on firmness and bruising of Starkrimson delicious and golden delicious apples. *HortScience* 19: 550–551
- [9] Van Lancker, J. 1979. Bruising of unpeeled apples and potatoes in relation with temperature and elasticity. *Lebensmittel Wissenschaft Technologie*. 12: 157–161.
- [10] Hyde, G.M., Baritelle, A.L., Varith, J. 2001. Fruit and vegetable conditioning to improve impact bruise threshold. In: Proceedings of the 6th International Symposium on Fruit, Nut and Vegetable Production Engineering. Potsdam Germany September. 11–14.
- [11] Kavdir, I., Guyer, D.E. 2004. Comparison of Artificial Neural Networks and Statistical Classifiers in Apple Sorting using Textural Features. *Biosystems Engineering*. 89(3): 331-344.
- [12] Yang, C.C., Prasher, S.O., Landry, J.A. 2002. Weed recognition in corn fields using back-propagation neural network models. *Canadian Biosystems Engineering Le genie des biosystemes au Canada*. 44: 7.15-7.22.
- [13] Afkari Sayyah, A. H., Minaei, S., Golmohammdi, A. 2006. Investigation of the effect of mechanical load on apple losses after storage. Unpublished Research Project, Univ. of Mohaghegh Ardabili, Ardabil, Iran.

۴- نتیجه گیری

با توجه به پیشینه کوفتگی ایجاد شده در دمای صفر درجه سلسیوس، توصیه می شود که در هنگام جابجایی و فرآیندهایی که احتمال وقوع ضربه در آنها وجود دارد، دمای میوه سیب تا حد ۲۰ تا ۳۰ درجه سلسیوس افزایش یابد. همچنین برای کاهش کوفتگی در سیب در ماشین های برداشت و پس از برداشت، از سطوح ضربه گیر با سختی کمتر مانند کارتون یا مواد مشابه آن، استفاده شود. انتخاب ارقامی از سیب که بتوانند انرژی زیادی را بدون آسیب دیدگی زیاد تحمل کنند از اهمیت برخوردار است که در این بین رقم گلدن دلیشر بر رقم رد دلیشر ارجحیت دارد. پیش‌بینی حجم کوفتگی با شبکه عصبی نسبت به مدل‌های رگرسیون آماری از دقت بالایی برخوردار است، به طوری که می توان با دقت ۸۷/۷۲ درصد حجم کوفتگی را بر اساس دما، میزان انرژی سینتیک، سختی سطح ضربه گیر و رقم پیش‌بینی نمود.

۵- منابع

- [1] Lewis, R., Yoxall, A., Canty, L.A., Reina Romo, E. 2007. Development of engineering design tools to help reduce apple bruising. *Journal of Food Engineering*. 83: 356-365.
- [2] Mohsenin, N.N. 1986. Physical Properties of Plant and Animal Materials. Secend Edition. New York: Golden and Beach Science Publisher. USA.
- [3] Labavitch, J. M., Greve, L. C., Mitcham, E. 1998. Fruit bruising: It is more than skin deep. *Perishables Handling Quarterly*. 95: 7–9.
- [4] Lewis, R., Yoxall, A., Marshall, M.B., Canty, L.A. 2008. Characterising pressure and bruising in apple fruit. *Wear*. 264: 37-46.

- equipment for minimum bruising. *Transactions of the ASAE*. 15: 746–750.
- [17] Hertog, M.L.A.T.M., Ben-Arie, R., Roth, E., Nicolaï, B. M. 2004. Humidity and temperature effects on invasive and non-invasive firmness measures. *Postharvest Biology and Technology*. 33: 79–91.
- [18] Mas'oudi, H., Tabatabaeefar, A., Borghaei, A.M. 2004. Mechanical Properties of Stored Apples (Uniaxial Test). <http://ica.ipan.lublin.pl/abstracts/Tabatabaeefar.pdf>
- [14] Van Zeebroeck, M. 2005. The Discrete Element Method (DEM) to simulate fruit impact damage during transport and handling. PhD thesis nr 643. Faculteit Biingenieurswetenschappen, K.U. Leuven.
- [15] Chen, P., Sun, Z. 1981. Impact parameters related to postharvest bruising of apples. *ASAE Paper No. 81- 3041*, St Joseph, Michigan.
- [16] Horsfield, B.C., Fridley, R.B., Claypool, L.L. 1972. Application of theory and elasticity to the design of fruit harvesting and handling

Effect of temperature and padding surface on apple bruise volume due to impact and its prediction by artificial neural network

Shekarbeigi, S. ¹, Afkari-Sayyah, A. H. ^{2*}, Shayeghi-Moghanloo, H. ³, Shokuhian, A. A. ⁴

1. M. Sc. Student, Dept. of Agricultural Machinery, University of Mohaghegh Ardabili
2. Assistant Professor, Dept. of Agricultural Machinery, University of Mohaghegh Ardabili
3. Associate Professor, Dept. of Electrical Engineering, University of Mohaghegh Ardabili
4. Academic Lecturer, Dept. of Horticulture, University of Mohaghegh Ardabili

(Received: 88/7/2 Accepted: 88/11/18)

The mechanical losses which occur in agricultural products are the damage's which imposed on country economy. It is important to investigate the bruising phenomena, as an index of mechanical losses for loss reduction and optimization of harvest and postharvest machinery. In the current study, by means of an impact pendulum apparatus and by conducting a series of impact tests, the effects of temperature (0, 10, 20 and 30°C), variety (Golden Delicious and Red Delicious), padding surface (corrugated carton, rubber and galvanized iron) and kinetic energy (300, 600 and 900 mJ) were investigated on rate of apple bruise. Statistical results showed that the effect of temperature, variety, padding surface and impact energy were significant on the mean value of bruise volume at 1% of statistical level. By increasing temperature, the bruised volume was decreased, whereas it increased by increase of energy level in both varieties. While, the Golden Delicious had more strength than Red Delicious. Also, the maximum rate of bruised volume was related to Red Delicious in contacting to galvanized iron and the minimum rate was related to Golden Delicious in contacting to corrugated carton. Prediction of bruised volume was provided using artificial neural network based on four factors of: temperature, impact energy, padding surface and variety. Multilayer perceptron of neural networks were used for prediction of bruised volume. In comparison with other topologies, algorithm Levenberg-Marquardt had better performance with structure 1-26-4 and logsigmoid transfer function in hidden layer. Based on this algorithm, the mean of prediction accuracy in training, evaluation and testing process was equal to 92.48, 88.94 and 87.72 percent, respectively. In addition, the correlation coefficient (R) was calculated equal to 0.975 for linear regression between predicted model and experimental data.

Keyword: Impact, Apple Bruise, Temperature, Padding Surface, Artificial Neural Networks

*Corresponding Author E-Mail address: ahafkari@gmail.com